




Germanocolusit $\text{Cu}_{13}\text{V}(\text{Ge,As})_3\text{S}_{16}$, **Vaterit**, **Kryolith**, **Yangit** - Dexing, Shangrao, Präfektur, Jiangxi, CN

 vaBXAgFkzES
v0evu5MBZaw


Nefedovit $\text{Na}_3\text{Ca}_4(\text{PO}_4)_4\text{F}$, **Shosanbetsuit**, **Cadmoseilit**, **Kopylovit** - Kassandra, Chaikidiki, Zentralmakedonien, GR

 z1eZl4-6vE-
Hq39R8qZyPw


Palermoit (Sr,Ca) (Li,Na)₂Al₂(PO₄)₂(OH)₂, **Jarosit**, **Eriochalcit**, **Orthoserpierit** - Dulinain Bridge, Strathspay, Highland, Schottland, UK

 h17qRmJVEUC
DjOYY11AZOQ


Roxbyit $\text{Cu}_{58}\text{S}_{22}$, **Pseudomalachit**, **Beryllonit**, **Kanemit** - Les Lacs-du-Témiscamingue, Témiscamingue, RCM, Abitibi-Témiscamingue, Québec, CA

 tpw3ru-w1k-
DAoH6sT-1WA


Hydroxycalciumkrololith $\text{Ca}_{15}\text{Ta}_2\text{O}_6(\text{OH})$, **Kimzeyit**, **Gilmarit**, **Schairerit** - Belpberg, Bern, CH

 Pkax4u_du0e
nhlnA6y56vg


Parnauit $\text{Cu}_9(\text{AsO}_4)_2(\text{SO}_4)(\text{OH})_{10}\cdot 7\text{H}_2\text{O}$, **Klaiprothit**, **Germanit**, **Helsenbergit** - X Navajo, El Paso, Colorado, US

 7Ux7zpLcTES
007KK9goKug


Ekdemit $\text{Pb}_6\text{As}_3\cdot 3\text{H}_2\text{O}$, **Rusinovit**, **Alfalktit**, **Umbrianit** - X Vetillas, San Vicente, Sur Chichas, Potosi, BO

 hooFr4yQe0a
vysFNNqclba


Karyinit (Na,Ca,Pb) (Ca,Mn) (Mn,Mg)₂(AsO₄)₃, **Bosoit**, **Plagionit**, **Nikmelnikovit** - X Stonyfell, Horsnell Gully, Adelaide Hills Council, LGA, South Australia, AU

 hv4YnXyS6US
3gzlY9Kccqg


Lautenthalit $\text{PbCu}_4\cdot 2\text{H}_2\text{O}$, **Wangkuirenit**, **Rasvumit**, **Natroaunit-1c** - Maluti-Gebirge, Mokhotlong, LS

 z2Ia8tlu7kW
tXoUX_TNFqg


Lindackerit (Cu,Co)₃(AsO₄)₂(AsO₃OH)₂·10H₂O, **Karpathit**, **Vanthoffit**, **Polkovicit** - Aspatria Pit No.2, Aspatria, Allerdale, Cumbria Co., England, UK

 T26fnn0e0km
oyEylJ6NERw


Klino-Ferro-Suenoit $\square\text{MnFe}(\text{Si}_2\text{O}_7)(\text{OH})_2$, **Magnesiumarrit**, **Juansilvait**, **Klinobehoit** - Holderbank, Schinznach-Dorf, Brugg, Aargau, CH

 ce4_gp-ynEBG
un0-XxlFkLQ


Polhemusit (Zn,Hg)₂, **Allanit-(Sm)**, **Felsöbányait**, **Stibivanit** - Camborne-Redruth-St. Day, Cornwall Co., England, UK

 4mOpUAMArky
OJvvLTic_gQ


Orthojoaquinit-(La) $\text{NaBa}_2(\text{La,Ce})_2\text{Fe}^{2+}(\text{Ti,Nb})_2[\text{O}(\text{OH},\text{F})]_3[\text{Si}_4\text{O}_{12}]_2\cdot \text{H}_2\text{O}$, **Weissit**, **Francéit**, **Anthonyit** - Gucheng, Lijiang, Präfektur, Yunnan, CN

 TE-h946oJEO
7vWyE84dEeA


Pharmakolith $\text{CaHAsO}_4\cdot 2\text{H}_2\text{O}$, **Quenselit**, **Strontioygnorit**, **Fresnoit** - Lozovoye, Simferopol, Rajon, Autonome Republik Krim, UA

 K57CteNpAOK
CDbr1JGXzgz


Metamboit $\text{Fe}^{3+}_3(\text{OH})(\text{H}_2\text{O})_2(\text{SO}_4)(\text{Te}^{4+}\text{O}_3)_3(\text{Te}^{4+}\text{O}(\text{OH})_2)(\text{H}_2\text{O})_3$, **Korshunovskit**, **Michenerit**, **Zhiqinit** - Wolfsgraben, Klausen, Eisacktal, Südtirol, Trentino-Südtirol, IT

 VR47St8saEi
8ztHk37a0w


Lasmanisit $\text{Ag}_{12}\text{Pb}_{13}\text{Mn}_{11}\text{Sb}_{44}\text{S}_{96}$, **Balangeroit**, **Byrudit**, **Hatchit** - X Golden Rod, Gilpin, Colorado, US

 j_hnFTetLEG
QXN82t0q1Gw


Petterdit $\text{Pb}(\text{Cr,Al})_2\cdot 3\text{H}_2\text{O}$, **Criddleit**, **Natronambullit**, **Carbocalumit** - Puente Tablas, Jaén, Área metropolitana de Jaén, Comarca, Jaén, Andalusien, ES

 xCAa4HDnGUK
VFRMVR8O2gg


Fluoro-Nyboit $\text{NaNa}_2(\text{Mg}_3\text{Al}_2)(\text{AlSi}_2\text{O}_7)(\text{F,OH})_2$, **Belogubit**, **Reedmergerit**, **Nipeit-(Ce)** - Wellington, Lyon, Nevada, US

 7NY4S7H5rEK
clr99xm71pA


Takéuchiit $\text{Mg}_2\text{Mn}^{3+}_2\text{O}_2(\text{BO}_3)$, **Kolymit**, **Monipit**, **Bytizit** - Linju, Ganesh Himal-Massiv, Dhading, Bagmati, NP

 TmqBFPbHhVem
9jwaJ9Yg4rg


Mountkeithit (Mg,Ni)₁₁(Fe³⁺,Cr,Al)₃(OH)₂₄(SO₄,CO₃)₃·11H₂O, **Grossular**, **Laurentianit**, **Palladodymit** - Frauensee, Wartburgkreis, Thüringen, DE

 BD3-hOYhokm
bWbbkRFQ1IA


Rickturnerit Pb_7O_4 [(Mg(OH)₄](OH)Cl₃, **Ulmleininit-Ba**, **Nenadkevichit**, **Vitimit** - Santa Catalina Pegmatit, Coronel Pringles, San Luis, AR

 SQBhCU83jko
DNTOlnbvV6A


Kukharenkoit-(La) $\text{Ba}_2(\text{La,Ce,Th})[\text{F}(\text{CO}_3)_3]$, **Taramit**, **Ferro-Aktinolith**, **Hilairit** - X Mary, Lawson, Clear Creek, Colorado, US

 _EJUA1NvxU6
df5ORFK8VUQ


Fenaksit $\text{KNaFe}^{2+}_2\text{Si}_4\text{O}_{10}$, **Znucait**, **Feklichevit**, **Humberstonit** - Nauvoo, Hancock, Illinois, US

 e-Qa-2hw2Ua
2eEPMJwcpPA


Tennantit-(Zn) $\text{Cu}_6(\text{Cu,Zn})_2\text{As}_4\text{S}_{13}$, **Buchwaldit**, **Hugesit**, **Mullit** - Chadong Ag-Au-Lagerstätte, Yuncheng, Yunfu, Präfektur, Guangdong, CN

 A2Ps_XsSDkW
ms1T-Bac8ag


Gorerit $\text{CaAlFe}^{3+}_{11}\text{O}_{19}$, **Olympit**, **Kukisvumit**, **Kernowit** - Joao Modesto dos Santos, Linópolis, Laranjeiras, Galliléa, Doce-Tal, Minas Gerais, Bundesstaat, Südosten, BR

 tquw05JHqkC
SWzbe4CwzQg

Tetraedit-(Ni) $\text{Cu}_6(\text{Cu}_4\text{Ni})_2\text{S}_3$, **Argentotetraedit-(Cd)**, **Kristjánit**, **Kudryavtsevit** - Belaya Zima SE-Nb-Lagerstätte, Sajangebirge, Tuwa, Republik, Sibirien, Föderationskreis, RU

 p_f-GBZmFkS
wXagMV_7ZA


Klinozoisit $\text{Ca}_2\text{Al}_3[\text{O}(\text{OH})\text{SiO}_3]_3(\text{Si}_2\text{O}_7)$, **Rufraucoit**, **Bleasdaleit**, **Fluocerit-(Ce)** - Altenberg, Sächsische Schweiz-Osterzgebirge, Sachsen, DE

 K0Lb7oXHKUe
9qNoH2ztU0g


Ognitit Ni_2Te , **Egles-tonit**, **Metakalerit**, **Hephaistosit** - Ober-Mengelbach, Wald-Michelbach, Bergstraße, Darmstadt, Hessen, DE

 DTZxdyZxES
wicuLcolGBQ


Ferro-Taramit $\text{Na}(\text{Ca-Na})(\text{Fe}^{2+}_3\text{Al}_2)(\text{Si}_6\text{Al}_2)\text{O}_{22}(\text{OH})_2$, **Tapiolit-(Fe)**, **Priđerit**, **Fedotovit** - X Mérétrice, Diahot, Fluss, Ouégoa, Nordprovinz, NC

 QHDNGf9vfkq
QORd51cSFCQ


Kurgantait $\text{SrCa}[\text{Cl}|\text{Br}]_5\text{O}_9\cdot \text{H}_2\text{O}$, **Arsenolith**, **Munakatait**, **Evenkit** - Guayanquil Canton, Guayas, EC

 6iIhf1xKqBq
y7G1Hm29mDQ


Planerit $\text{Al}_2(\text{PO}_4)_2(\text{PO}_3\text{OH})_2(\text{OH})_2\cdot 4\text{H}_2\text{O}$, **Melkovit**, **Brackebuschit**, **Bleialmagam** - X Senhora da Guia, Liboreiro, Góis, Stadt, Góis, Coimbra, Distrito, PT

 v9YAfDsIz0-
LUU5vZJL9Rw


Tlapallit $(\text{Ca,Pb})_2\text{CaCu}_6[\text{Te}^{4+}_3\text{Te}^{6+}\text{O}_{12}]_2(\text{Te}^{4+}\text{O}_2)_2(\text{SO}_4)_2\cdot 3\text{H}_2\text{O}$, **Plumbophyllit**, **Comblainit**, **Ottobahnit** - Fuengirola, Mijas, Costa del Sol Occidental, Comarca, Málaga, Andalusien, ES

 VuinxbwGQkq
ze0hJ2YgJwA


Zirkonolith-2M $(\text{Ca,Y})_2\text{Zr}(\text{Ti,Mg,Al})_2\text{O}_7$, **Tsumgallit**, **Akhtenskit**, **Metaheirichit** - Kabwe, Zentralprovinz, ZM

 8f9B2GY9Wkm
XICKR3aCBg

Jacquesdietrichit $\text{Cu}_2[\text{BO}(\text{OH})_2]_2(\text{OH})_3$, **Wollastonit-1A**, **Mccrillisit**, **Litsitsynit** - Silberberg, Geyer, Zimmermoos, Brixlegg, Marktgemeinde, Kufstein, Tirol, AT

 9CHVJRQFc0C
481wKE1Tv_w


Tatarskit $\text{Ca}_8\text{Mg}_2(\text{SO}_4)_2(\text{CO}_3)_2\text{Cl}_2(\text{OH})_2\cdot 7\text{H}_2\text{O}$, **Interlinggit**, **Pyrop**, **Palmerit** - Langschlag, Zwettl, Niederösterreich, AT

 RGPspmgLXk6
tauzcZDTXaw


Zinkstauroolith (Zn,Li,Fe,Mg)

 BcDE6_zmXEi
z-I109Q3k1w


Stronalsit $\text{SrNa}_2\text{Al}_4\text{Si}_4\text{O}_{16}$, **Coquimbait**, **Crednerit**, **Borisenkoit** - X Agassiz, Lynn Lake, Manitoba, CA

 L4Ne9CgaNE6
T1_KbbsCqig


Alicewilsonit-(YCe) $\text{Na}_2\text{Sr}_2\text{YCe}(\text{CO}_3)_6\cdot 3\text{H}_2\text{O}$, **Möhnit**, **Kuzminit**, **Kalium-Magnesio-Hastingsit** - Kupfererzgang, Kleinenlendes, Kleinenlental, Ankogel-Geibital, Ankogel-Gruppe, Spittal an der Draua, Kärnten, AT

 NBLbXivChkO
Y79AnAcY0Xw


Hasanovit $\text{KNa}(\text{MoO}_4)_2(\text{SO}_4)_2$, **Susanit**, **Taipingit-(CeCa)**, **Oxybismutmikrolith** - Tongshanling Lagerstätte, Dao, Yongzhou, Präfektur, Hunan, CN

 1C7LBoU-aEC
DiFGvPKen4w


Aluminopyracmonit $(\text{NH}_4)_3\text{Al}(\text{SO}_4)_3$, **Des-sauit-(Y)**, **Bettertonit**, **Ercitit** - Norming Deposit, Musclow, Hastings Highlands Township, Hastings Co., Ontario, CA

 RMvsEOLcKw
xh9MRlUE8IQ


Fehrit $\text{MgCu}_4(\text{SO}_4)_2(\text{OH})_6\cdot 6\text{H}_2\text{O}$, **Suolunit**, **Matiolith**, **Beryll** - X Payne, Empire, Clear Creek, Colorado, US

 xccOwMvIXkS
_h10iVNUiW


Hilgardit-4M $\text{Ca}_2\text{B}_2\text{O}_9\text{Cl}_2\cdot \text{H}_2\text{O}$, **Liantensit**, **Peterchinit**, **Asagit** - McArthur Mills, Carlow & Mayo Township, Hastings Co., Ontario, CA

 wqY8TWUv50u
N0xRN24kJwW


Lipsconit $(\text{Fe}^{2+},\text{Mn})\text{Fe}_3^{3+}(\text{PO}_4)_2(\text{OH})_2$, **Keutschit**, **Natronarospinit**, **Eclairit** - Granatfundstelle Lucknergraben-Unterfrösnig, Laufenberg, Radentheim, Stadtgemeinde, Spittal an der Draua, Kärnten, AT

 a4Lk67Yv0e#EG
_xg7iDEw9YQ


Intersilit $(\text{Na,K})\text{Na}_5\text{Mn}^{2+}(\text{Ti,Nb})[(\text{OH})_3]_2\text{Si}_{10}\text{O}_{24}(\text{OH})\cdot 4\text{H}_2\text{O}$, **Falcondoit**, **Samarskit-(Yb)**, **Tupersuatsiait** - Kymenlaakso, FI

 bwxnpxJv0UD
ikJHTFZKUg


Khomyakovit $\text{Na}_{12}\text{Sr}_3\text{Ca}_6(\text{Fe}^{2+}\text{Mn}^{2+})_3\text{Zr}_3(\text{W,Nb})[(\text{OH},\text{Cl})\text{Si}_{10.5}(\text{O},\text{OH})_2]\text{Si}_5\text{O}_9[\text{Si}_9\text{O}_{27}]_2$, **Althausit**, **Bredigit**, **Liebenbergit** - Rifle Pit, Garfield, Colorado, US

 2zFJ72PDxk-
qH80FD8DsKa


Lávenit $(\text{Na,Ca})_2(\text{Mn,Fe}^{2+})_2(\text{Zr,Ti})\text{Si}_2\text{O}_7(\text{O},\text{OH},\text{F})$, **Lenllenaepit**, **Burrit**, **Ovamboit** - Takagun, Hyogo, Präfektur, KinKi, Honshū, Insel, JP

 5QiPaB-d1EC
6hVA--GGbew


Ferri-Hellandit-(Ce) $(\text{Ca}_3\text{Ce})\text{Ce}_2\text{Fe}^{3+}\square_2\text{B}_4\text{Si}_4\text{O}_{22}(\text{OH})_2$, **Hydroascoit**, **Kosnarit**, **Ferrokarpholith** - X Pride of the Hills, Pitkin, Colorado, US

 ZfMIJieU1ky
qNBLeUmBAXg


Katophorit $\text{Na}(\text{NaCa})(\text{Mg,Al})_2(\text{SO}_4)_2(\text{OH})_2$, **Pseudolyonsit**, **Gageit**, **Saryarkit-(Y)** - Lordsburg, Hidalgo, New Mexico, US

 K15WLDtscyEW
07DgDLDE-9w


Liottit $(\text{Na,K})_{16}\text{Ca}_8(\text{Al}_6\text{Si}_6\text{O}_{24})_2(\text{SO}_4)_3\text{Cl}_4$, **Ferrirockbridgeit**, **Wayayandait**, **Frankinfurnaceit** - Apo Ali Gun, Braldu-Tal, Skardu, Gilgit-Baltistan, PK

 siEQTjIq_E6
IcAmVpZ2Wgw

Kuzelit $\text{Ca}_4\text{Al}_2[\text{SO}_4]_2(\text{OH})_2\cdot 16\text{H}_2\text{O}$, **Zincovallit**, **Tschernicht**, **Panethit** - Fersman-Schlucht, Eweslogchorr, Chibiny, Kola-Halbinsel, Murmansk, Nordwestrussland, Föderationskreis, RU

 wbcw6CNjtk6
zDjApkLB8vg

Wopmayit $\text{Ca}_6\text{Na}_3\square\text{Mn}(\text{PO}_4)_3(\text{PO}_3\text{OH})_4$, **Weibulit**, **Tamboit**, **Zoyashlyukovit** - Playa de la Enramada, Adeje, Teneriffa, Kanarische Inseln, ES

 KRitFCTOFUS
iKkR9KLCvzQ